

به کارگیری تحلیل رگرسیون لوژستیک برای پنهانی بندی خطر زمین لغزش در منطقه سفیدارگله، استان سمنان

ماشاله خامه چیان^۱؛ پرویز عبدالمالکی^۲؛ راکعی^۳

چکیده

زمین لغزش‌های اتفاقی، افتاده در نواحی کوهستانی منطقه سفیدارگله در استان سمنان، همه ساله موجب وارد آمدن خسارات بسیار به مناطق مسکونی و راههای مراسلاتی و ... می‌شود. جهت مطالعه این مسئله روش آماری رگرسیون لوژستیک برای تهیه نقشه پنهانی بندی خطر زمین لغزش مورد استفاده قرار گرفت. پایگاه اطلاعاتی شامل نقشه‌های شبیب، لیتوولوژی، جهت شبیب، مدل ارتفاعی رقومی، کاربری اراضی، بارندگی و فاصله از گسل می‌شوند که با استفاده از نرم افزار SPANS در محیط GIS تهیه شدند. در این روش متغیرهای پیش‌بینی کننده، اتفاق افتادن و یا اتفاق نیافتدان زمین لغزشها در واحدهای شبکه بندی شده، مورد استفاده قرار گرفته و ارتباط آنها مشخص می‌شود. با استفاده از این ارتباط نقشه پنهانی بندی خطر زمین لغزش در منطقه مورد مطالعه تهیه شد. نتایج نشان می‌دهد که شبیب و لیتوولوژی مهمترین متغیرها برای تخمین خطر زمین لغزش در منطقه هستند. در عامل لیتوولوژی واحدهای شیلی مستعدترین واحدها برای لغزش هستند. همچنین بارندگی و فاصله از گسل در مرحله اول مطالعات در نظر گرفته شد، اما در تحلیل نهایی به دلیل کم اثر بودن این عوامل از مدل حذف شد.

کلمات کلیدی

زمین لغزش، پنهانی بندی، رگرسیون لوژستیک، سیستم اطلاعات جغرافیایی (GIS)

Using Logistic Regression Analysis for Landslide Hazard Zonation in Sephidargoleh Area

Khamehchiyan M.; Abdolmaleki P.; Rakei B.

ABSTRACT

Landslides in the hilly terrain of Sefidargoleh area in Semnan province cause many damages to residential area, roads, ... every year. To address this problem, a statistical method called multiple logistic regression has been used to create a landslide hazard map for study area. Data included digitized geoiology, slope, aspect, DEM, landuse, precipitation and buffer of faults manipulated using SPANS in GIS environment. Logistic regression relates predictor variables to the occurrence or nonoccurrence of landslides within geographic cells. These information was used to produce a map showing the probability of future landslides. Results indicated that slope and lithology are the most important variable for estimating landslides. Precipitation and buffer of faults were excluded from the final analysis because these variables did not add the predictive power of the logistic regression.

KEYWORDS

Landslide, Zonation, Logistic Regression, Geographic Information System (GIS).

¹ استاد یار گروه زمین شناسی مهندسی، دانشگاه تربیت مدرس: khamechm@modares.ac.ir

² استادیار گروه بیوفیزیک، دانشگاه تربیت مدرس: parviz@modares.ac.ir

³ دانشجوی کارشناسی ارشد زمین شناسی مهندسی، دانشگاه تربیت مدرس: rakei55@yahoo.com

۱- مقدمه

زمین‌لغزش پدیده‌ای است که به علت از بین رفتن تعادل بین نیروهای مقاوم در مقابل نیروهای محرك لغزش، در شبکه‌ها و دامنه‌ها اتفاق می‌افتد [۶]. پدیده زمین‌لغزش یکی از بلایای طبیعی است که همه ساله موجب خسارات مالی و جانی فراوان در مناطق مختلف جهان می‌شود [۱۲]، [۱۴]. پهنه بندی خطر زمین‌لغزش به خصوص در دهه‌های اخیر، توجه بسیاری از مهندسین و محققین علوم زمین را به خود مشغول کرده است. نقشه‌های پهنه بندی کمک شایانی به طراحان در زمینه انتخاب مناطق مناسب برای اجرای طرح‌های عمرانی است [۳]، [۴]، [۵]. علاوه بر آن افزایش آگاهی از اهمیت اقتصادی-اجتماعی، زمین‌لغزش‌ها و افزایش تراکم حاصل از توسعه و شهرسازی، تهیه نقشه‌های پهنه بندی را انکار ناپذیر می‌سازد [۸]. در اکثر مناطق فعالیت انسانی موجب بهم خوردن تعادل طبیعی موجود می‌شود. افزایش خسارات و تلفات ناشی از زمین‌لغزش‌ها شاید نتیجه همین فعالیت‌ها باشد [۱۲]. در کشور ما نیز همه ساله شاهد وقوع زمین‌لغزش‌های متعدد هستیم که موجب خسارات فراوان می‌شود [۳]، [۴]. منطقه مورد مطالعه نیز به خاطر شرایط خاص آب و هوایی و زمین‌شناسی دارای پتانسیل فراوان زمین‌لغزش است که تلاش اخیر در زمینه تهیه نقشه پهنه‌بندی نیز در راستای این امر است.

روش‌های مختلفی برای پهنه بندی خطر زمین‌لغزش ارائه شده است ولی هیچ کدام قطعیت لازم را ندارند و روشهای ارائه شده در بیشتر موارد برای مناطق خاص با در نظر گرفتن اصلاحات لازم کاربرد دارند [۹]، [۱۰]، [۱۱]، [۱۶]، [۱۷]، [۱۹]، [۲۰].

در این تحقیق روش رگرسیون لوژستیک مورد مطالعه قرار گرفت و هدف از آن، استفاده از این روش برای پهنه‌بندی منطقه مورد مطالعه، ناحیه سفیدارگله در استان سمنان با طولهای جغرافیایی $5^{\circ} ۳۰' \text{ تا } ۱۵^{\circ} ۵۳'$ شرقی و عرضهای جغرافیائی $۴۵^{\circ} ۰' \text{ تا } ۳۶^{\circ} ۰'$ شمالی است. که در این حالت روابط ذاتی بین عوامل موثر در لغزش توسط سیستم رگرسیون لوژستیک استخراج شده و از آن در تشخیص درجه خطر مناطق مختلف استفاده شد.

۲- روش‌شناسی مدل‌سازی و پهنه‌بندی خطر

نسبی زمین‌لغزش

به طور کلی مدل‌ها و پهنه‌بندی‌های خطر نسبی زمین‌لغزش به لحاظ روش‌شناسی با استفاده از سه معیار از یکدیگر تفکیک می‌شوند [۶]:

- چگونگی تعیین واحدهای منطقه‌ای

- روش بررسی ناپایداری دامنه‌ها (استعداد به لغزش)

- چگونگی تعیین اهمیت و تأثیر نسبی عوامل مؤثر بر ناپایداری

۲- چگونگی تعیین واحدهای منطقه‌ای

- ناحیه مورد بررسی به سلول‌های شبکه‌ای منظم با مساحت‌های مشخص تقسیم می‌شود و واحدهای شبکه‌ای به عنوان کوچکترین واحدهای نقشه‌ای برای بررسی پایداری و ناپایداری دامنه مورد استفاده واقع می‌شوند. این کار در گذشته وقتی‌گیر بوده است و با کارهای کارتوگرافی دستی انجام می‌شد ولی اخیراً با استفاده از سیستم‌های رایانه‌ای و نرم‌افزارهای GIS صورت می‌پذیرد. از جمله مدل‌ها و پهنه‌بندی‌های انجام‌شده به روشن واحدهای شبکه‌ای می‌توان به کارهای کارارا و همکاران، براب و کانگاوا اشاره کرد [۱۱]، [۱۸].

- دومین روش، تعریف واحدهای منطقه‌ای خاص است که بر بنیان واحدهای همگن شکل زمین (مثلاً) واحدهای ژئومورفوژئیکی، زمین‌شناسی (مثلاً) واحدهای سنگ‌شناسی، حوضه‌های آبریز و ... شکل می‌گیرند و سایر عوامل و فاکتورهای مؤثر در لغزش در این محدوده‌ها بررسی شده و یا به نقشه درمی‌آیند. از جمله پهنه‌بندی‌های انجام شده بدین روش باید به کار استیونسن، چوبی ویتوریا اشاره کرد [۶].

- روش سوم پهنه‌بندی براساس واحدهای منطقه‌ای، همپوشانی و روی‌هم‌گذاری تمامی نقشه‌های موجود است. در این روش، کلیه عوامل و فاکتورهای مؤثر ابتدا به صورت نقشه درآمد و برای تحلیل و پهنه‌بندی روی هم گذاشته شده است و از تلفیق آنها پهنه‌بندی خطر نسبی به دست می‌آید.

۲-۱- روش بررسی ناپایداری دامنه‌ها (استعداد به لغزش و حرکت توده‌ای)

در این رابطه چهار نحوه برخورد با موضوع دیده می‌شود. - نمایش گسیختگی‌های دامنه‌ای و نواحی که زمین‌لغزش در آنها رخداده است و استفاده از این فاکتور اصلی در بررسی ناپایداری دامنه‌ای: از جمله این شیوه می‌توان به کار هانسن اشاره کرد [۶]. مسلمان‌ماً استفاده تنها از یک عامل در پهنه‌بندی خطر زمین‌لغزش، مدت زمان کار را تا حد زیادی پایین آورده و تنها می‌تواند به صورت مقدماتی و کلی نواحی در معرض خطر را نمایش دهد.

- انجام تحلیل‌های ژئومورفوژئیکی: در این روش بنیان پهنه‌بندی براساس مطالعات ژئومورفوژئیک استوار است. شکل‌شناسی دامنه‌ها و عوارض و علاوه ناپایداری دامنه‌ای از اصلی‌ترین فاکتورهای مؤثر در پهنه‌بندی در این روش است.

۳- روش رگرسیون لاجستیک

در تحلیل‌های چند متغیره چنان‌چه متغیر وابسته یا پاسخ دو حالتی باشد از مدل رگرسیون لوژستیک استفاده می‌شود. در این مدل رابطه رگرسیونی متغیرها خطی نیست و به صورت منحنی S شکل است. در این نوع مدل‌ها متغیر وابسته بیانگر دو دو وضعیت است، این حالت‌ها می‌تواند در دامنه ۰ تا ۱ بیانگر احتمال وقوع پدیده خاص (همانند زمین‌لغزش) باشد.

برای توضیح و تشریح مدل رگرسیون لوژستیک ابتدا لازم است مدل احتمال خطی^۱ بطور خلاصه بررسی شود.

اگر مدل ساده همانند رابطه ۱ را در نظر بگیریم:

$$Y_i = \alpha + \beta_i X_i + U_i \quad (1)$$

که در آن X_i متغیر مستقل، Y_i متغیر وابسته، α عرض از مبدأ و U_i عامل خطاست. چنانچه $1 = Y_i$ احتمال وقوع حادثه موردنتظر (زمین‌لغزش) و $0 = Y_i$ احتمال عدم وقوع حادثه موردنتظر (عدم وقوع زمین‌لغزش) باشد، به این مدل‌ها که در آن Y_i ، به عنوان تابعی خطی از متغیرهای توضیحی X_i ، به دو گروه تقسیم می‌شود «مدل‌های احتمالی خطی» گویند.

در این حالت امید ریاضی شرطی^۲ برحسب X_i معین $E(Y_i | X_i)$ را می‌توان بعنوان احتمال شرطی^۳ وقوع حادثه موردنظر به شرط X_i معین $(1 | X_i) = P_i$ تعبیر نمود. با فرض معمول $0 = E(U_i) = \text{امید ریاضی شرطی } U_i$ معادل صفر، یعنی میانگین خطاهای برابر صفر) خواهیم داشت:

$$E(Y_i | X_i) = \alpha + \beta_i X_i \quad (2)$$

حال چنانچه تعریف کنیم:

P_i = احتمال این که Y_i مساوی یک باشد ($1 | Y_i$) یعنی احتمال وقوع حادثه موردنظر و $1 - P_i$ = احتمال این که Y_i مساوی صفر باشد ($0 | Y_i$) یعنی احتمال عدم وقوع حادثه موردنظر، آنگاه Y_i دارای دامنه‌ای همانند جدول (۱) خواهد بود.

جدول(۱): جدول احتمالات برای تابع پاسخ Y_i

| Y_i | احتمال |
|-------|-----------|
| ۰ | $1 - P_i$ |
| ۱ | P_i |

بنابراین طبق تعریف امید ریاضی خواهیم داشت:

$$E(Y_i) = 0(1 - P_i) + 1(P_i) \quad (3)$$

$$E(Y_i) = P_i \quad (4)$$

و با مساوی قراردادن (۲) و (۴) داریم:

$$E(Y_i | X_i) = \alpha + \beta_i X_i = P_i \quad (5)$$

یعنی در واقع می‌توان امید ریاضی شرطی مدل (۱) را به عنوان احتمال شرطی Y_i تعبیر کرد.

چون احتمال P_i باید بین صفر و یک قرار گیرد محدودیت

برای نمونه می‌توان به سیستم پهنه‌بندی فرانسوی زرموس

(Zermos) اشاره کرد [نقل از ۶].

- روش همپوشانی و روی همگذاری فاکتورها: در این روش که بر مبنای شبکه‌های سلولی و یا واحدهای منطقه‌ای همگن استوار است، نقشه‌ها و شبکه‌ها بر روی هم گذاشته می‌شود و براساس رتبه یا امتیازی که هر شبکه یا واحد نقشه‌ای به خود می‌گیرد، ارزش نهایی هر شبکه یا واحد نقشه‌ای که معرف استعداد به لغزش است مشخص می‌شود.

- روش تحلیل پایداری: روش‌های تحلیل پایداری دامنه‌ها براساس ضریب ایمنی، ضریب زلزله و محاسبات ریاضی از دیگر روش‌هایی است که بیشتر در دامنه‌های منفرد و در مقیاس بزرگ مورد مطالعه قرار می‌گیرد و نیاز به آزمایش‌های دقیق حفاری، نمونه‌برداری، انجام آزمایش‌های مربوط به مقاومت، رطوبت، چسبندگی و ... دارد. تحقیقات سیموس و همکاران و ایشی‌هارا از این نوع است [۶].

۳-۲- چگونگی تعیین اهمیت و تأثیر نسبی عوامل مؤثر بر ناپایداری

برای تعیین اهمیت و تأثیر نسبی عوامل و فاکتورهای مؤثر بر پهنه‌بندی خطر زمین‌لغزش معمولاً از روش وزن‌دهی یا امتیازدهی استفاده می‌شود. به طورکلی سه روش وزن‌دهی به فاکتورهای مؤثر در ناپایداری وجود دارد:

- وزن‌دهی کور: براساس قضایت مهندسی و تجربیات موجود به هریک از عوامل مؤثر وزن یا امتیاز داده می‌شود.

- وزن‌دهی بینا: در این روش براساس نتایج و تحلیل‌هایی که بر بنیان آماری و ریاضی و یا از ادراک‌های تجربی بعد از مطالعات حاصل می‌شود، به هریک از فاکتورها و عوامل مؤثر امتیاز و ارزش داده می‌شود و برپایه قضایت اولیه و یا شخصی استوار نیست.

- وزن‌دهی پس از حادثه: در این روش بعد از انجام آزمایش‌های تحریک‌کننده و رخداد لغزش به عناصر مؤثر وزن مناسب داده می‌شود. بدیهی است این روش نیز مستلزم انجام آزمایشات مختلف و دقیق است.

برای وزن‌دهی به فاکتورها اغلب از تحلیل‌های آماری استفاده می‌شود. اصلی‌ترین تحلیل‌های آماری که مبنای وزن‌دهی و تأثیر فاکتورها هستند شامل تحلیل جداول متقاطع، میانگیری وزنی براساس واحدهای منطقه‌ای بررسی و تحلیل رگرسیونی یک یا چند متغیره است. بر بنیان این تحلیل‌ها به هریک از فاکتورها وزنی داده می‌شود و نهایتاً «جمع جبری آنها معیار برآورد خطر نسبی زمین‌لغزش و پهنه‌بندی قرار می‌گیرد.

و یک خواهد بود و علاوه بر آن P_i به صورت غیرخطی به Z_i (یعنی X_i) مربوط است. (دو شرط مورد نیاز مدل برآورده است).

اگر P_i یعنی احتمال وقوع حادثه موردنظر به وسیله رابطه (۸) بیان شود دراین صورت $(1-P_i)$ یعنی احتمال عدم وقوع حادثه موردنظر برابر است با:

$$1 - P_i = \frac{1}{1 + e^{z_i}} \quad (9)$$

بنابراین خواهیم داشت:

$$P_i / (1 - P_i) = e^{z_i} \quad (10)$$

به طور ساده $[P_i / (1 - P_i)]$ نسبت احتمال حادثه موردنظر بر آلتريناتيو یا حالت دیگر آن است.

چنانچه از رابطه (۱۰) لگاریتم طبیعی گرفته شود:

$$L_i = \ln(P_i / (1 - P_i)) = Z_i = \alpha + \beta_i X_i \quad (11)$$

در مدل بالا L_i به نام لاچیت معروف است. بنابراین اسم مدل لاچیت به مدل هایی مانند رابطه ۱۱ اطلاق می شود که ویژگی های زیر را داشته باشند:

- همچنانکه P بین صفر و یک (یعنی Z بین $-\infty$ و $+\infty$) نوسان می کند، L_i لاچیت از $-\infty$ تا $+\infty$ تغییر می کند.

- اگرچه L_i بر حسب X_i خطی است اما خود احتمال ها این طور نمیستند.

- (β_i) (ضریب زاویه) میزان تغییر در L_i را به ازای یک واحد تغییر در X_i اندازه می گیرد. ضریب عرض از مبدأ α بیانگر مقدار لگاریتم نسبت برتری یا مزیت به نفع احتمال وقوع حادثه موردنظر در مقدار صفر متغیر مستقل است.

- اگر منظور تخمين خود احتمال وقوع حادثه موردنظر در سطح مقدار مشخصی از متغیر مستقل X باشد آنگاه این امر مستقیماً از رابطه (۷) با در دست داشتن تخمين های α و β_i امکان پذیر است.

برای پیش بینی احتمال وقوع حادثه موردنظر ($Y=1$) باتوجه به رابطه ۹ به صورت رابطه ۱۲ عمل می شود:

$$P(Y=1|X_i) = \frac{\exp(\alpha + \beta_1 X_1 + \dots + \beta_n X_n)}{1 + \exp(\alpha + \beta_1 X_1 + \dots + \beta_n X_n)} \quad (12)$$

باتوجه به رابطه ۱۲، مقادیر پیش بینی شده دامنه ای از صفر تا یک خواهد داشت که یک معادل وقوع حادثه موردنظر و صفر برابر عدم وقوع آن است.

۴- پایگاه داده ها

اولین قدم برای پنهان بندی تعیین زمین لغزش های اتفاق افتاده در منطقه است. با مطالعات صورت گرفته، ۴۹ زمین لغزش و پنهان لغزشی تشخیص داده شد (شکل ۱۱). مرحله بعدی شامل

زیر را خواهیم داشت:

$$0 \leq (Y_i | X_i) \leq 1 \quad (6)$$

مدل احتمال خطی دارای چند اشکال اساسی است:

- غیرنرمال بودن توزیع U یا عامل خطاهای در این مدل پراکنندگی جملات اخلال یا خطای حل رگرسیون به صورت نرمال توزیع نشده است و باعث ایجاد تورش در برآورده می شود.

- ناهمسانی و واریانس های اجزاء اخلاص: هنگامی که واریانس ها U با افزایش متغیر X افزایش یابد و از آن تبعیت کند ناهمسانی واریانس به وجود می آید.

- عدم تأمین شرط $0 \leq E(Y_i | X_i) \leq 1$ در عمل و امكان قرار گرفتن پیش بینی خارج از محدوده صفر و یک.

- به زیر سؤال رفتن R^2 به عنوان معیار خوبی برازش: در مدل های با متغیر وابسته موهومی (قابل تقسیم به دو گروه) بررسی R^2 محاسباتی ارزش چندانی ندارد.

حتی با رفع اشکالات فوق باز هم مدل احتمال خطی ازنظر منطقی چندان قابل قبول نیست. زیرا این مدل فرض می کند که $E(Y_i | X_i) = P_i$ به طور خطی با X_i افزایش می یابد یعنی اثر نهایی X_i در سرتاسر طول تغییرات ثابت است.

در مورد پیش بینی های با متغیر وابسته موهومی، مدل احتمالاتی که دو خصوصیت را داشته باشد مطلوب است:

- همچنانکه X افزایش می یابد $E(Y_i | X_i) = P_i$ نیز افزایش نیابد اما هیچ گاه خارج از محدوده صفر و یک قرار نگیرد.

- ارتباط بین P_i و X_i غیرخطی باشد. یعنی مدلی موردنیاز است که در آن احتمال فوق همچنان که X_i کوچکتر می شود با نرخ کمتری به سمت صفر و همچنان که X_i بزرگتر می شود باز هم با نرخ کمتری به سمت یک میل کند.

به طور هندسی مدل مورد نیاز شبیه منحنی S شکل باید باشد. منحنی که شباهت زیادی بهتابع توزیع تخمینی انباسته متغیرهای تصادفی دارد. یکی از اصلی ترین توابع مذکور، مدل تابع توزیع تخمینی انباسته لوژستیک است که مدل (لاچیت) را فراهم می کند.

در این حالت مدل احتمال خطی فرضی بصورت رابطه ۷ تغییر می کند:

$$P_i = E(Y_i = 1 | X_i) = \frac{e^{(\alpha + \beta_i X_i)}}{1 + e^{(\alpha + \beta_i X_i)}} \quad (7)$$

که در آن e پایه لگاریتم طبیعی می باشد. رابطه (۷) را می توان بصورت رابطه ۸ بیان نمود:

$$P_i = \frac{e^{z_i}}{1 + e^{z_i}} \quad (8)$$

که در آن $Z_i = \alpha + \beta_i X_i$ است. رابطه (۸) بیانگر آن چیزی است که تحت عنوان تابع توزیع تجمعی لوژستیک معروف شده است. در این حالت همچنانکه Z_i بین $-\infty$ و $+\infty$ تغییر می کند P_i بین صفر

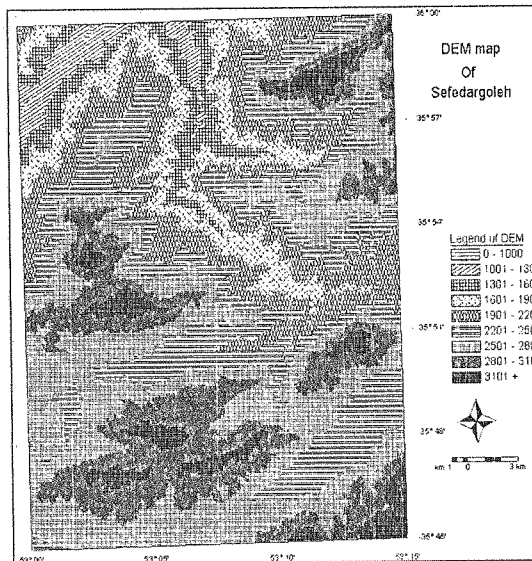
غرب، جنوب‌غريبي، جنوب، جنوب‌شرقي، شرق، شمال‌شرقى و مناطق مسطح تقسيم شد.

۴-۳- ليتولوژي

ناحیه مورد مطالعه از ليتولوژي متعدد برخوردار است و اين عامل که شايد بتوان آنرا به نوعی مهمترین عامل برشمودر، تاثير به سزايه در پنهان‌بندی دارد. بيشتر اين تاثير در مناطقی است که سازندها و رسوبات حاوي سنگهای مارني و رسی می‌باشند که در اثر جذب آب و رطوبت در کانهای رسی، علاوه بر افزایش وزن، انبساط حجم نيز پیدا می‌کنند و موجب اکثر لغزش‌ها می‌شوند. در اين مطالعه ليتولوژي منطقه سفيدارگله که مبنای آن نقشه ليتولوژي منطقه سمنان بود، مورد تجزيه و تحليل قرار گرفت.

۴-۴- مدل ارتفاعي (رقومي)

نقشه ارتفاعي رقومي (DEM) منطقه با رقومي کردن نقشه توپوگرافی منطقه سفيدارگله در مقیاس ۱/۵۰۰۰۰ تهیه، و منطقه به ۹ زیرگروه با اختلافهای ۳۰۰ متر تقسیم شد (شکل (۲)).



شکل(۲): نقشه DEM منطقه سفيدارگله

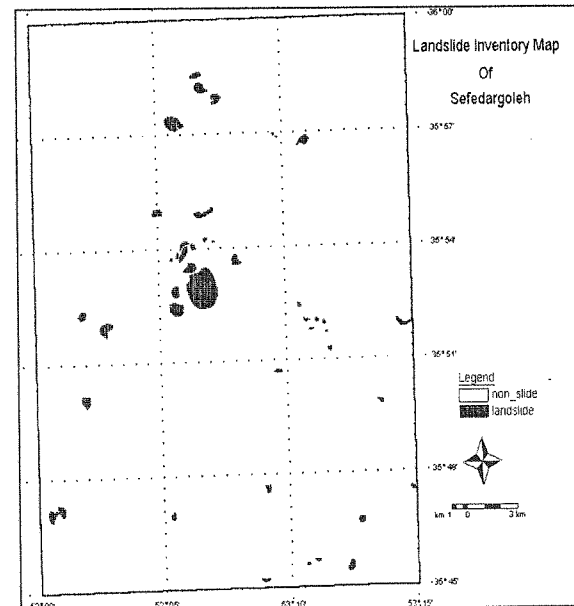
۴-۵- کاربرى اراضي

با توجه به پوشش گياهی و نوع کاربری زمین‌های این ناحیه، منطقه به ۵ ناحیه تقسیم شد که مبنای آن مطالعاتی بود که در سازمان زمین‌شناسی کشور انجام شد (شکل (۳)):

- کلاس A : جنگل متراکم، جنگل نیمه متراکم.
- کلاس B : مخلوط جنگل و باغ و مجتمع درختان.
- کلاس C : دیم، مخلوط مرتع و دیم، اراضی مرتعی متراکم.
- کلاس D: اراضی زراعی آبی ، اراضی مرتعی نیمه متراکم

تهیه پایگاه اطلاعاتی از عوامل مؤثر بر زمین‌لغزش است. در این مرحله ۷ عامل مؤثر مورد بررسی قرار گرفت. این عوامل عبارتند از: شبیب، جهت شبیب، مدل ارتفاعی رقومی، ليتولوژی، بارندگی، فاصله از گسل و کاربری اراضی.

برای تغذیه این اطلاعات به مدل رگرسیون لوژستیک، منطقه مورد مطالعه با واحدهای مربع شکل به طول ۸۶/۴ متر شبکه بندی شد. بدین ترتیب کل منطقه به ۸۳۷۸۱ واحد تقسیم گردید. اطلاعات موجود در هر واحد نشانگر مشخصات عوامل موثر در آنها می‌باشد و شامل ۷ لایه اطلاعاتی است.



شکل(۱): نقشه زمین لغزش‌های موجود

۴-۱- میزان شبیب دامنه ها

از نظر تئوري، بافرض يکسان بودن سایر عوامل احتمال خطر لغزش در مناطقی که شبیب بیشتری داشته باشند، بيشتر است و به عنوان يك پیش فرض، در شبیب‌های كمتر از ۵ درجه لغزش اتفاق نخواهد افتاد [۱۲]. در روش‌های مختلف پنهان‌بندی برای تقسیم‌بندی شبیب دامنه‌ها، مقادیر متفاوتی ارائه شده است ولی در روش پیشنهادی، برای جلوگیری از هرگونه پیش داوری، منطقه با اختلاف ۵° به گروههای مختلف از ۵ تا +۷۰ درجه تقسیم شد.

۴-۲- جهت شبیب

در نیمکره شمالی، دامنه‌هایی که جهت شبیب آنها به سمت جنوب باشد، نور خورشید را در طول سال بیشتر دریافت می‌کنند و تبخر در آنها بیشتر است. با توجه به اهمیت این موضوع در پدیده لغزش منطقه به ۹ گروه شمال، شمال‌غربي،

و کم متراکم.

- کلاس E: اراضی با برآوردهای پوشش گیاهی یا پوشش کم.

نقشه بارندگی منطقه تهیه شد. این معادله رگرسیون در مناطق شمالی که از سیستم خزری تبعیت می کند، به صورت معادله درجه دوم و در مناطق جنوبی البرز که از سیستم نیمه خشک تبعیت می کند، یک معادله از نوع درجه اول است.

البرز شمالی:

$$y = (2.9844 \times 10^{-8})x^3 - (1.302 \times 10^{-4})x^2 + 0.0485x + 1160.4831 \quad (13)$$

البرز جنوبی:

$$y = 0.288x - 193.71 \quad (14)$$

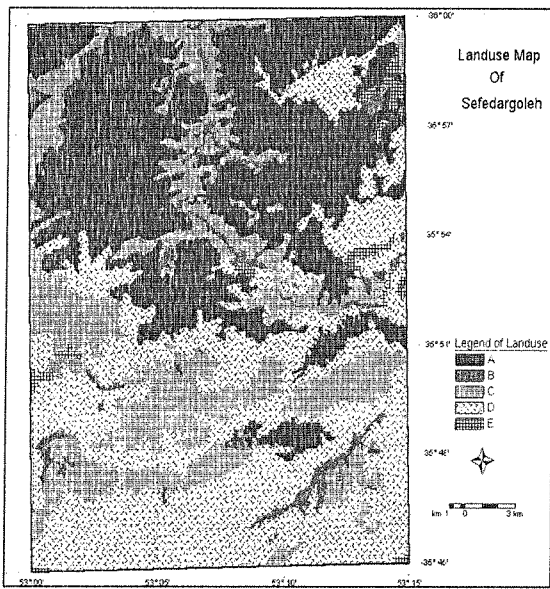
(۷) میزان بارندگی بر حسب میلیمتر و (x) ارتفاع سطح زمین بر حسب متر طبقه بندی میزان بارندگی با اختلاف ۱۰۰ میلیمتر انجام شد.

۵- مدل رگرسیون لوژستیک مورد استفاده

همان‌گونه که ذکر شد از روش رگرسیون لوژستیک در مواردی که احتمال وقوع و عدم وقوع به صورت صفر و یک بیان می‌شود، استفاده می‌شود. از آن جایی که در تحقیق اخیر، با پدیده ای مواجه هستیم که یا اتفاق افتاده (با احتمال وقوع ۱) یا اتفاق نیفتاده (با احتمال وقوع ۰) است، این مدل برای امر پنهان بندی استفاده شد. هدف از استفاده از این مدل استخراج قانون ممیزی است که باید برای کل منطقه برونو یابی شود. بدین منظور پس از آماده کردن اطلاعات اولیه مربوط به عوامل موثر در زمین لغزش، با تعداد ۱۶۲۶ واحد اقدام به تعیین قانون مربوطه شد.

مدل رگرسیون لوژستیک در محیط نرم افزاری SPSS با استفاده از روش forward stepwise:wald ایجاد شد. این مدل شامل دو مرحله تخمین زدن^۱ و ارزشیابی^۲ است. هدف از مرحله تخمین زدن، به دست آوردن ضرایب β از داده‌های گروه آموزش، برای تشکیل قانون ممیزی است و هدف از مرحله ارزشیابی، سنجش توانایی پیش‌گویی مدل بر روی گروه آموزش است. در مرحله تخمین زدن، داده‌های مربوط به ۱۶۲۶ واحد در ماتریس گروه آموزش قرار گرفت. سپس نرم افزار راه اندازی شد تا جدول تخمین ضرایب، که در این مدل محاسبه می‌گردد، حاصل شود. ضرایب حاصل شامل: عرض از مبدأ (α) و اعداد بعدی شبیه‌های خط (β) هستند. آنگاه با استفاده از این ضرایب، قانون ممیزی نوشته شد. قانون ممیزی در واقع احتمال انتساب واحد به منطقه لغزشی یا غیرلغزشی است.

برای تعیین مناسب ترین ضرایب و معادله انتساب، شاخص‌های مختلفی وجود دارد، یکی از آنها ارزش مربع کای^۳ می‌باشد که استفاده مهم آن در تعیین اهمیت هر یارامتر در ایجاد لغزش است و آنها یکی که کمترین مقدار را دارند دارای



شکل (۳): نقشه کاربری منطقه سفیدارگله

۴-۶- فاصله از گسل

برای عامل گسل اثرات مختلفی را در بروز لغزش در دامنه‌ها می‌توان متصور شد. خردشده‌گی و برخشی شدن در مناطق گسلی، نفوذ آب از این مناطق به داخل دامنه‌ها، بروز ناپیوستگی در اطراف گسل‌ها و اختلاف فرسایش در دامنه‌ها از جمله اثراتی است که می‌توان به آنها اشاره کرد.

حرکت گسل می‌تواند به نوعی شروع لغزش در دامنه باشد. بروز تعداد زیادی زمین‌لغزش بعد از زلزله، می‌تواند موید نتش آن در بروز زمین‌لغزش باشد. در حقیقت حرکت گسل‌ها موج ب رسیدن به حد آستانه حرکت در دامنه‌ها می‌شود. در این تحقیق نقشه فاصله از گسل (بافر گسل) تهیه و به ۵ زیر گروه با فواصل ۳۰۰ متر دسته‌بندی شد. برای این عامل نقش دوگانه می‌توان متصور شد که در بعضی مواقع اثرات متفاوتی را بجای می‌گذارد.

۴-۷- بارندگی

بارندگی به سبب بالابردن سطح ایستابی آبهای زیرزمینی که این افزایش به نوبه خود موجب افزایش فشار ایستاتیکی و فشار آب حفره‌ای در مصالح دامنه‌ها می‌شود، نقش به سزایی در لغزش ایفا می‌کند [۷].

در منطقه مورد مطالعه به علت نبودن ایستگاه‌های باران‌سنجی کافی رابطه‌ای بین ارتفاع و میزان بارندگی در ایستگاه‌های موجود به دست آمد که با استفاده از این رابطه

اهمیت بیشتری هستند.

۶- نتایج

با توجه به موارد ذکر شده از بین هفت عامل موثری که برای پنهان بندی مورد استفاده قرار گرفته بودند، در فرمول نهایی پنج عامل مورد استفاده قرار گرفت. این عوامل عبارتند از جهت شبیب، مدل ارتقایی رقومی، شبیب، لیتولوژی و کاربری اراضی. از بین عوامل فوق لیتولوژی و کاربری اراضی و جهت شبیب بعنوان عوامل کیفی و بقیه بصورت کمی در نظر گرفته شدند. از بین این عوامل با توجه به وزن آنها، تاثیر شبیب دامنه و لیتولوژی بیشتر از سایر عوامل است که شبیب دامنه از نوع عوامل کمی و لیتولوژی از نوع کیفی است.

مدل رگرسیون لوژستیک با آتاالیز Wald، تاثیر عوامل را با اضافه کردن یک به یک آنها در تکرارهای متوالی، به گونه‌ای که در تکرار اول فقط تأثیر یک عامل را مورد بررسی قرار می‌دهد، مناسب‌ترین ارزش را به هر کدام از عوامل کمی و به زیر گروههای عوامل کیفی اختصاص می‌دهد. جدول ۲ این موضوع را نشان می‌دهد که در آن فقط تکرارهای ۱، ۲، ۳ و ۲۰ آورده شده است (جدول (۲)).

در این تحقیق نتایج مدل سازی با مقادیر مختلف جداساز مورد بررسی قرار گرفت. این مقادیر از ۰/۳ تا ۰/۷ را شامل می‌شوند که با میزان جداساز ۰/۴ کمترین خطا از مدل گرفته شد. برای تشخیص مناسب ترین تکرار، متدهای مختلف سنجش میزان خطا وجود دارد. بدین منظور کاهش میزان متند $\log 2$ likelihoold و افزایش میزان Cox & Snell R Square Negelkerke R Squar برای انتخاب ضرایب و تعداد عوامل موثر نشان می‌دهد (جدول (۳)). همچنین با محاسبه میزان خطا و حساسیت مدل نسبت به پیش‌گویی نمونه های لغزشی و غیرلغزشی در تکرارهای مختلف مرحله تخمین زدن، مشاهده می شود که تکرار بیست مناسب ترین وزنها را دارا است (جدول (۴)).

پس از تعیین بهترین تکرار همراه با بیشترین دقت، فرمول نهایی بصورت رابطه ۱۵ آماده شد:

$$Y = -7.903 + 1.162 \text{Aspect}2 - 2.975 \text{Aspect}9 + 0.001 \text{DEM} + 1.834 \text{Lit}11 - 9.323 \text{Lit}12 + 1.854 \text{Lit}16 + 3.102 \text{Lit}17 + 3.003 \text{Lit}19 + 2.636 \text{Lit}20 + 1.491 \text{Lit}25 + 2.209 \text{Lit}34 - 14.068 \text{Lit}47 + 0.207 \text{slope} + 2.053 \text{lux}10 + 1.026 \text{lux}30 - 9.866 \text{lux}50 \quad (15)$$

فرمول محاسبه شده در مرحله تخمین برای تعداد ۴۰ نمونه

همچنین در مرحله آموزش و آزمایش، با محاسبه تعداد موارد لغزشی به درستی تشخیص داده شده به کل موارد پیشگویی شده لغزشی حساسیت^۱ مدل برای پیشگویی مناطق لغزشی و با محاسبه موارد غیرلغزشی به درستی تشخیص داده شده به کل موارد غیرلغزشی تشخیص داده شده، ویژگی^۲ مدل برای پیشگویی مناطق غیرلغزشی محاسبه شد. دقت کل مدل با تقسیم موارد به درستی تشخیص داده شده به کل نمونه ها محاسبه شد.

از آنجایی که کار آمدی مدل مورد نظر در مرحله نخست برای جداسازی دو گروه لغزشی و غیرلغزشی است، مدل با مقادیر جداساز^۳ مختلف مورد آزمایش قرار می‌گیرد. این مقادیر به صورت متغیر از ۰/۳ تا ۰/۷ در نظر گرفته شد.

در نهایت با ایجاد مدل لوژستیک در مرحله تخمین موثرترین عوامل و میزان تاثیر آنها محاسبه شد. برای اطمینان از صحت و درستی از میزان تاثیر این عوامل، فرمول به دست آمده با تعدادی از نمونه های جدید مورد آزمون قرار گرفت. نتایج بدست آمده باید کمترین میزان خطای را داشته باشند.

خروجی مدل رگرسیون لوژستیک اعدادی در دامنه کمتر و بیشتر از صفر است. با توجه به احتمال پیشین محاسبه شده که برای دو کلاس (تعداد نمونه های ارائه شده برای هر دو کلاس مساوی و برابر ۸۰۰ در نظر گرفته شده است) برابر ۰/۵ است، در نتیجه $0 < p = 1 - p < 0/5$ و از آنجا نتیجه می شود که مقدار جداساز برابر صفر خواهد بود. یعنی اگر $X_i > \alpha + \beta_i$ آنگاه نمونه مربوط به کلاس اتفاق افتاده و در غیر اینصورت اتفاق نیفتد است.

با توجه به مواردی که ذکر شد، مناسب ترین عوامل مؤثر بر زمین‌لغزش شناسایی و وزن آنها مشخص شد. سپس فرمول محاسبه شده برای کل منطقه تعمیم داده شد. مقادیر محاسبه شده برای هر واحد اعدادی در دامنه ۰/۸۵ تا ۰/۲۹ و ۰/۲۱ کردید. اعداد موجود در دامنه منفی براساس قدر مطلق بزرگترین مقدار منفی در دامنه صفر تا ۱- نرمالیزه و اعداد موجود در دامنه مثبت بر اساس بزرگترین مقدار مثبت در دامنه صفر و ۱- نرمالیزه شدند. با توجه به ضرورت پنهان بندی در ۵ رده، این مقادیر با اختلاف ۰/۴ به پنج گروه، با توجه به احتمال خطر زمین‌لغزش، تقسیم بندی شدند. نقشه نهایی پنهان بندی مناطق با خطر خیلی زیاد تا مناطق پایدار را شامل می شود.

جدول (۲): عوامل انتخاب شده و وزن‌های اختصاص یافته به آنها

Variables in the Equation

| Step | Variable | B | S.E. | Wald | df | Sig. | Exp(B) | 95.0% C.I. for EXP(B) | |
|------|----------|---------|--------|---------|----|------|--------|-----------------------|---------|
| | | | | | | | | Lower | Upper |
| 1 | SLOPE | .246 | .011 | 472.541 | 1 | .000 | 1.278 | 1.250 | 1.307 |
| | Constant | -3.328 | .151 | 486.124 | 1 | .000 | .036 | | |
| 2 | SLOPE | .225 | .011 | 386.521 | 1 | .000 | 1.252 | 1.224 | 1.280 |
| | LUX10 | 2.359 | .184 | 165.163 | 1 | .000 | 10.579 | 7.382 | 15.159 |
| | Constant | -4.098 | .198 | 429.301 | 1 | .000 | .017 | | |
| 3 | ASPx90 | -3.207 | .475 | 45.543 | 1 | .000 | .040 | .016 | .103 |
| | SLOPE | .169 | .011 | 225.543 | 1 | .000 | 1.184 | 1.159 | 1.211 |
| | LUX10 | 2.169 | .196 | 121.840 | 1 | .000 | 8.746 | 5.951 | 12.854 |
| 20 | Constant | -2.826 | .216 | 171.911 | 1 | .000 | .059 | | |
| | ASPx20 | 1.162 | .368 | 9.971 | 1 | .002 | 3.198 | 1.554 | 6.579 |
| | ASPx90 | -2.975 | .502 | 35.171 | 1 | .000 | .051 | .019 | .136 |
| | DEM | .001 | .000 | 15.274 | 1 | .000 | 1.001 | 1.001 | 1.002 |
| | LIX11_0 | 1.834 | .301 | 37.053 | 1 | .000 | 6.258 | 3.467 | 11.295 |
| | LIX12_0 | -9.323 | 18.558 | .252 | 1 | .615 | .000 | .000 | 5.6E+11 |
| | LIX16_0 | 1.854 | .540 | 11.791 | 1 | .001 | 6.388 | 2.216 | 18.403 |
| | LIX17_0 | 3.102 | .982 | 9.981 | 1 | .002 | 22.238 | 3.246 | 152.316 |
| | LIX19_0 | 3.003 | .786 | 14.592 | 1 | .000 | 20.152 | 4.316 | 94.089 |
| | LIX20_0 | 2.638 | .475 | 30.825 | 1 | .000 | 13.954 | 5.503 | 35.384 |
| | LIX25_0 | 1.491 | .577 | 6.674 | 1 | .010 | 4.443 | 1.433 | 13.773 |
| | LIX34_0 | 2.209 | .479 | 21.241 | 1 | .000 | 9.105 | 3.559 | 23.292 |
| | LIX47_0 | -14.068 | 24.681 | .325 | 1 | .569 | .000 | .000 | 7.9E+14 |
| | SLOPE | .207 | .015 | 199.740 | 1 | .000 | 1.230 | 1.195 | 1.266 |
| | LUX10 | 2.053 | .272 | 56.812 | 1 | .000 | 7.794 | 4.569 | 13.293 |
| | LUX30 | 1.026 | .308 | 11.095 | 1 | .001 | 2.789 | 1.525 | 5.100 |
| | LUX50 | -9.866 | 19.743 | .250 | 1 | .817 | .000 | .000 | 3.3E+12 |
| | Constant | -7.903 | .925 | 73.067 | 1 | .000 | .000 | .000 | |

B: Logit coefficient, S.E.: standard deviation, d.f.: Degree of freedom

جدول (۴): حساسیت مدل برای مناطق لغزشی و غیرلغزشی و دقت کل در مرحله تخمین زدن

Classification Table^a

| Observed | Predicted | | | Percentage Correct | |
|--------------------|-----------|-----|-----|-----------------------|--|
| | | | | | |
| | | Y | 0 | | |
| Step 1 | 0 | 744 | 69 | 91.5 | |
| | 1 | 96 | 717 | 88.2 | |
| Overall Percentage | | | | 88.9 | |
| Step 2 | 0 | 755 | 58 | 92.9 | |
| | 1 | 54 | 759 | 93.4 | |
| Overall Percentage | | | | 93.1 | |
| Step 3 | 0 | 709 | 104 | 87.2 | |
| | 1 | 20 | 793 | 97.5 | |
| Overall Percentage | | | | 92.4 | |
| Step 18 | 0 | 740 | 73 | 91.0 | |
| | 1 | 21 | 792 | 97.4 | |
| Overall Percentage | | | | 94.2 | |
| Step 19 | 0 | 741 | 72 | 91.1 | |
| | 1 | 20 | 793 | 97.5 | |
| Overall Percentage | | | | 94.3 | |
| Step 20 | 0 | 742 | 71 | 91.3 | |
| | 1 | 20 | 793 | 97.5 | |
| Overall Percentage | | | | 94.4 | |
| Step 21 | 0 | 740 | 73 | 91.0 | |
| | 1 | 20 | 793 | 97.5 | |
| Overall Percentage | | | | 94.3 | |
| Step 22 | 0 | 739 | 74 | 90.9 | |
| | 1 | 21 | 792 | 97.4 | |
| Overall Percentage | | | | 94.2 | |
| Step 23 | 0 | 741 | 72 | 91.1 | |
| | 1 | 20 | 793 | 97.5 | |
| Overall Percentage | | | | 94.3 | |

a. The cutvalue is .400

جدول ۳: مقادیر خطای مدل در تحرارهای مختلف

| Step | -2 Log likelihood | Cox & Snell R Square | Nagelkerke R Square |
|------|-------------------|----------------------|---------------------|
| 1 | 1030.362 | .529 | .705 |
| 2 | 845.849 | .579 | .773 |
| 3 | 753.175 | .603 | .804 |
| 4 | 738.556 | .606 | .808 |
| 5 | 725.042 | .610 | .813 |
| 6 | 711.871 | .613 | .817 |
| 7 | 691.310 | .618 | .823 |
| 8 | 682.157 | .620 | .826 |
| 9 | 701.931 | .615 | .820 |
| 10 | 689.118 | .618 | .824 |
| 11 | 676.545 | .621 | .828 |
| 12 | 666.957 | .623 | .831 |
| 13 | 656.606 | .626 | .834 |
| 14 | 659.145 | .625 | .833 |
| 15 | 649.055 | .627 | .836 |
| 16 | 638.381 | .630 | .840 |
| 17 | 630.310 | .632 | .842 |
| 18 | 620.921 | .634 | .845 |
| 19 | 613.933 | .635 | .847 |
| 20 | 597.753 | .639 | .852 |
| 21 | 607.550 | .637 | .849 |
| 22 | 614.759 | .635 | .847 |
| 23 | 605.066 | .637 | .850 |

در مرحله آزمون مورد امتحان قرار گرفت. نتایج حاکی از آن است که حساسیت مدل برای پیش‌گویی مناطق لغزشی غیرلغزشی ۹۲/۵٪ و ویژگی آن برای مناطق غیرلغزشی ۹۰/۶٪ است (جداول (۵) و (۶)، اشکال (۴) و (۵)).

نتایج برونویابی فرمول به دست آمده از مدل رگرسیون لوژستیک برای کل منطقه نشان می‌دهد که ۱٪ از منطقه پایدار، ۱۲٪ خطر کم، ۵۴٪ خطر متوسط، ۳۶٪ خطر زیاد و ۰٪ از منطقه ناپایدار می‌باشد (جدول (۷) و شکل (۷)).

۷- بحث و نتیجه گیری

با وجود گستردگی‌های کم زمین‌لغزش‌ها در مقایسه با سایر حوادث طبیعی، از آنجایی که مناطق در معرض خطر لغزش معمولاً در مناطق حساس واقع هستند و خسارات ایجاد شده در مقایسه با گستردگی پدیده خیلی زیاد است، پهنه بندی خطر زمین‌لغزش در این مناطق ضروری است.

نتایج تحقیق حاضر حاکی از آن است که مدل ریاضی ایجاد شده به خوبی توانسته است انتظارات را برآورده سازد و نقش خود را به عنوان یک سیستم پیشگویی اثبات کند. نقشه نهایی پهنه بندی، احتمال لغزش در هر واحد با توجه به فرمول بدست آمده از مدل لوژستیک است. مقایسه این نقشه با نقشه زمین‌لغزش‌های اتفاق افتاده^{۱۱} بیانگر تطبیق مناسب بین مناطق لغزش یافته و مناطق پهنه بندی با درجه خطر زیاد است.

پارامترهای تشخیصی به کار رفته شامل هفت پارامتر هستند که در نهایت پنج پارامتر مورد استفاده قرار گرفت. این پارامترها شامل مشخصات لیتولوژی، شب، مدل ارتفاعی رقومی، کاربری اراضی و جهت شبیب است که در فرمول نهایی آشکار شدند.

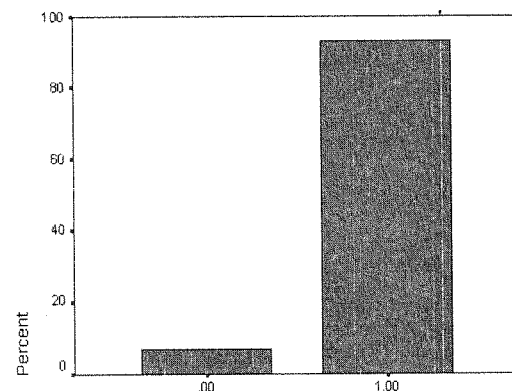
مناطقی که دارای شبیب و ارتفاع زیاد هستند، دارای پتانسیل لغزش زیاد و مناطق هموار دارای احتمال خطر لغزش کم پیش بینی شده اند که این نتایج صحت نتایج به دست آمده از این مدل را مورد تایید قرار می‌دهند.

در تحقیق حاضر پارامترهای مختلف کمی و کیفی مورد استفاده قرار گرفتند و نتایج حاصل از مدل لوژستیک نشان می‌دهد تاثیرات شبیب و لیتولوژی بیشتر است. این تأثیر در مورد لیتولوژی در مورد سازندهای مشخص می‌باشد ولی برای شبیب این تاثیر بصورت یک ضریب ثابت است، در نتیجه با افزایش درجه شبیب دامنه، تاثیر این پارامتر افزایش می‌یابد.

این در حالی است که در تحقیقات مختلفی که در مورد تاثیرات عوامل مختلف زمین‌لغزش صورت گرفته است این افزایش تاثیر را در شبیه‌های کم تا متوسط مورد تایید قرار می‌دهند ولی در مقادیر زیاد شبیب، تاثیر شبیب دامنه‌ها کاهش می‌یابد. دلایل کاهش این تاثیر بدین گونه توضیح

جدول (۵): حساسیت مدل برای مناطق لغزشی در مرحله آزمون

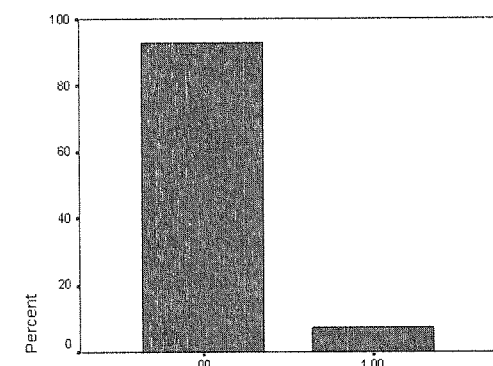
| | Frequency | Percent | Valid Percent | Cumulative Percent |
|---------|-----------|---------|---------------|--------------------|
| Valid | .00 | 14 | 3.5 | 7.0 |
| | 1.00 | 186 | 46.5 | 93.0 |
| Total | | 200 | 50.0 | 100.0 |
| Missing | System | 200 | 50.0 | |
| Total | | 400 | 100.0 | |



شکل (۴): حساسیت مدل برای مناطق لغزشی در مرحله آزمون

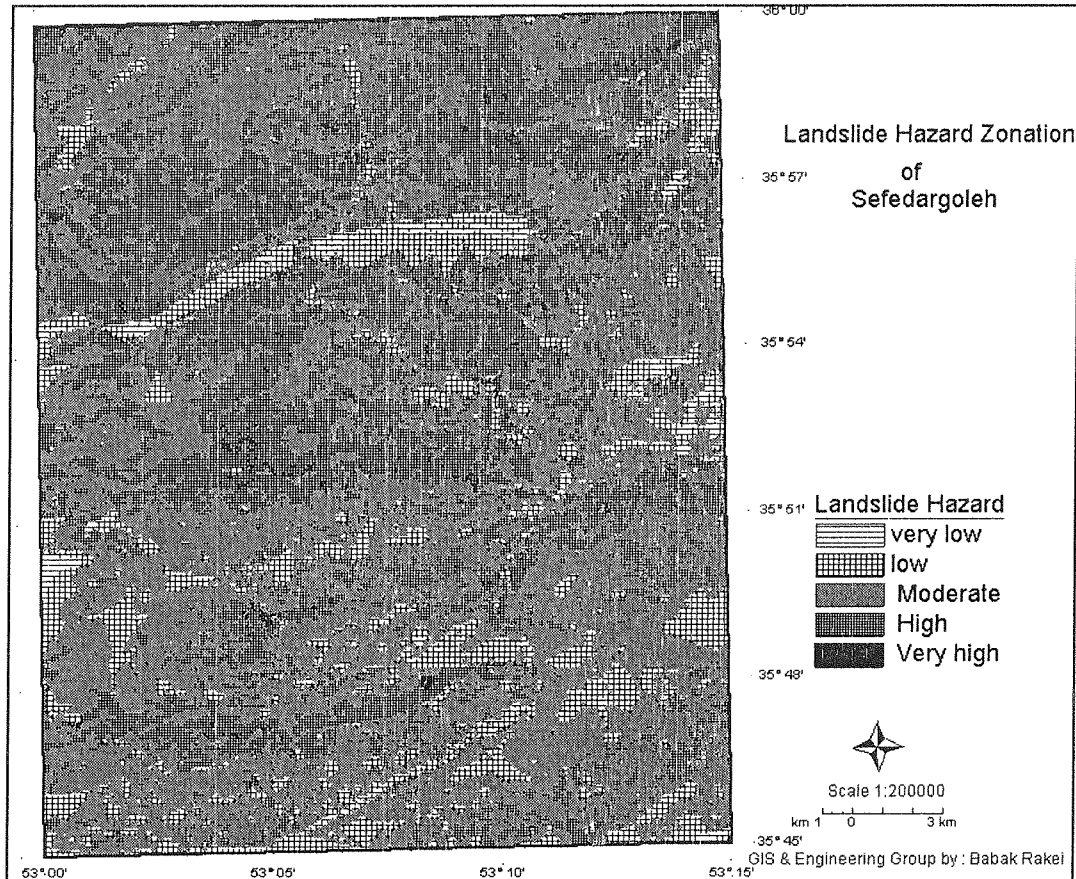
جدول (۶): حساسیت مدل برای مناطق غیرلغزشی

| | Frequency | Percent | Valid Percent | Cumulative Percent |
|---------|-----------|---------|---------------|--------------------|
| Valid | .00 | 185 | 46.3 | 92.5 |
| | 1.00 | 15 | 3.8 | 7.5 |
| Total | | 200 | 50.0 | 100.0 |
| Missing | System | 200 | 50.0 | |
| Total | | 400 | 100.0 | |



شکل (۵): حساسیت مدل برای مناطق غیرلغزشی در مرحله آزمون

بعد از حصول بهترین نتایج از مراحل تخمین و آزمون، مرحله پایانی کار برونویابی این فرمول برای کل منطقه است. بدین منظور فرمول مورد نظر در نرم افزار spans برای کل منطقه تعیین داده شد تا نقشه نهایی پهنه بندی حاصل شود (شکل (۶)).



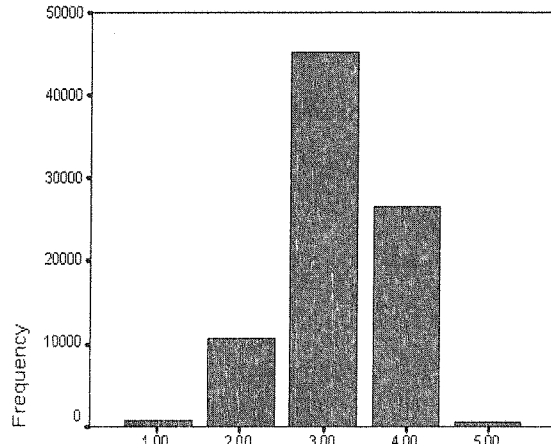
شکل(۶): نقشه نهایی پهنه‌بندی خطر زمین‌لغزش

تذکیر به قائم بسیار زیاد است [۲].

جدول (۷): درصد سطحی مناطق مختلف پهنه‌بندی

| | Frequency | Percent | Valid Percent | Cumulative Percent |
|----------------|-----------|---------|---------------|--------------------|
| Valid | 827 | 1.0 | 1.0 | 1.0 |
| 2.00 | 10597 | 12.7 | 12.7 | 13.7 |
| 3.00 | 46193 | 54.0 | 54.0 | 67.7 |
| 4.00 | 26384 | 31.5 | 31.6 | 99.3 |
| 5.00 | 822 | .7 | .7 | 100.0 |
| Total | 83823 | 100.0 | 100.0 | |
| Missing System | 9 | 0.0 | | |
| Total | 83832 | 100.0 | | |

با توجه به جدول (۲) مشاهده می شود که پارامتر لیتولوژی نیز به همراه شبیه دارای تاثیر زیاد است. واحدهای متناظر که بیشترین تاثیر را دارا هستند شامل سازندهای آهک و مارن دار (lit11_0, lit12_0, lit25_0), سازند دولومیتی لار (lit17_0, lit19_0), سازند شمشک با لیتولوژی عمدتاً ماسه سنگی - شبیلی (lit20_0)، سازند باروت با لیتولوژی عمدتاً شبیلی (lit34_0) و سازند الیکا با لیتولوژی دولومیتی (lit47_0) هستند. همان‌گونه که ملاحظه می شود لیتولوژی غالب در زمین‌لغزش‌ها، واحدهای آهکی



شکل (۷) : نمودار مربوط به درصد سطحی هرکدام از مناطق پهنه‌بندی داده می شود که در شبیه‌های تند لایه‌های خاکی مستعد لغزش دارای ضخامت کم می باشد و امکان دارد ضخامت این لایه‌ها در شبیه‌های خیلی تند، مختص به مقدار هوازدگی موجود در سنگ بستر این لایه‌ها باشد ولی با این وجود احتمال لغزش‌های کم عمق^{۱۰} وجود دارد. همچنین پتانسیل لغزش‌های از نوع افتان^{۱۱} و واژگونی^{۱۲} در شبیه‌های تند و

رایانه معمولی در کسری از ثانیه می توان یک گروه بزرگ از داده ها را تجزیه و تحلیل کرد.

با توجه به نتایج حاصل از این مدل در امر پنهن بندی، روش رگرسیون لوژستیک یک متد آماری مفید برای توسعه نقشه های زمین لغزش می باشد و می توان از این روش در کنار سایر متدهای پنهن بندی استفاده کرد. به نظر می رسد توanalyی این روش در شناسایی مناطق با خطر زمین لغزش کم (۲) و خطر زیاد (۴) نتایج قابل قبولی را ارائه می دهد ولی در شناسایی مناطق با خطر خیلی کم (۱) و خطر خیلی زیاد (۵) با مشکل مواجه می شود. بدین جهت توصیه می شود از این متد در راستای سایر روش ها استفاده شود

۸- تشکر و قدردانی

با تشکر فراوان از گروه مهندسی و گروه GIS سازمان زمین شناسی که ما را در انجام این تحقیق یاری رساندند.

۹- مراجع

- [۱] ایزانلو، الف، بررسی قابلیت داده های سنجش از دور و سیستم های اطلاعات جغرافیایی برای پنهن بندی خطر حرکات توده ای در آبریز رودخانه بیدوار، پایان نامه دوره کارشناسی ارشد رشته سنجش از دور، دانشکده علوم جغرافیایی و سنجش از دور دانشکده ادبیات و علوم انسانی، دانشگاه تربیت مدرس، ۱۳۷۶.
- [۲] راکعی، بابک، پنهن بندی خطر زمین لغزش با استفاده از سیستم شبکه عصبی مصنوعی، پایان نامه دوره کارشناسی ارشد رشته زمین شناسی مهندسی، دانشکده علوم پایه، دانشگاه تربیت مدرس، ۱۳۸۲.
- [۳] شریعت جعفری، محسن، زمین لغزش (اصول و پایداری شبیه های طبیعی)، انتشارات سازه، ۱۳۷۶.
- [۴] کمک پناه، علی، منتظر القائم، س. و چدنی، اج، پنهن بندی زمین لغزه در ایران، جلد اول: زمین لغزه و مروری بر زمین لغزه های ایران، تهران، موسسه بین المللی زلزله شناسی و مهندسی زلزله، ۱۳۷۲.
- [۵] کمک پناه، علی و منتظر القائم، س.، مجموعه مقالات اولین کارگاه تخصصی بررسی راهبردهای کاهش خسارات زمین لغزه در کشور، تهران، موسسه بین المللی زلزله شناسی و مهندسی زلزله، ۱۳۷۲.
- [۶] گی، ام.دی، ۱۹۹۲. طبقه بندی روش های پنهن بندی خطر زمین لغزش و اندازه گیری توanalyی پیش بینی آنها، مترجم: مهدوی فر، محمد رضا، تهران، وزارت جهاد سازندگی، معاونت آبخیز داری، دفتر مطالعات و ارزیابی آبخیزها، ۱۳۷۵.
- [۷] معماریان، حسین، زمین شناسی مهندسی و ژئوتکنیک، تهران، دانشکده فنی، دانشگاه تهران، ۱۳۷۴.
- [۸] Aleotti.. P., Chawdhury, R., *Landslide hazard assessment: summary review and new perspectives*. Bull Eng. Geol. Environ., 58:21-44, 1999.
- [۹] Anabalagan, R., *Landslide hazard evaluation and zonation mapping in mountainous terrain*. Eng. Geol.,

و دولومیتی با میان لایه هایی از خاکهای رسی و مارنی است. این خاکها دارای خاصیت انبساط یافتنگی و انقباض شدید در اثر جذب آب هستند، همچنین با جذب آب وزن توده افزایش می یابد و با غلبه بر نیروی اصطکاک و چسبندگی موجود در توده لغزشی، شکستگی در امتداد شیب دامنه گسترش می یابد و لغزش اتفاق می افتد.

به غیر از عواملی که در این پژوهش برای پنهن بندی خطر زمین لغزش مورد استفاده قرار گرفت می توان از عوامل دیگری همچون سطح آبهای زیرزمینی، تأثیر امواج زلزله ای، فاصله از راههای مواصلاتی و تأثیر فعالیت های انسانی و ... استفاده کرد که نیاز به مطالعات گسترده تر دارد.

در این پژوهش، کار پیشگویی با مدل رگرسیون لوژستیک در دو مرحله مورد آزمایش قرار گرفت، بدین ترتیب که حساسیت مدل برای پیشگویی مناطق لغزشی و غیرلغزشی در دو مرحله تخمین زدن و آزمون مورد بررسی قرار گرفت. محاسبات نشان می دهد که ویژگی مدل در مرحله تخمین زدن برای مناطق غیرلغزشی $\frac{91}{2}$ و لغزشی $\frac{97}{5}$ و حساسیت کل $\frac{94}{4}$ است. این نتایج برای مرحله آزمون $\frac{92}{5}$ و $\frac{93}{75}$ و $\frac{92}{75}$ است. باید خاطر نشان کرد که مناطق لغزشی و غیر لغزشی در مراحل آزمون و آزمایش در دامنه بزرگتری نسبت به پنهن بندی نهایی قرار دارند و مقادیر بزرگتر از صفر دارای ارزش لغزشی و مقادیر کمتر از صفر نیز مناطق پایدار در نظر گرفته شده است. همان گونه که مشاهده می شود توanalyی مدل برای پیشگویی مناطق لغزشی بیشتر از مناطق غیرلغزشی است.

نتایج حاصل از مدل رگرسیون لوژستیک نشان می دهد $\frac{6}{7}$ ٪ از منطقه جزو مناطق لغزشی است و $\frac{1}{7}$ ٪ از منطقه بعنوان منطقه پایدار معرفی می شود و با توجه به تعداد نمونه هایی که در مرحله تخمین و آزمون در اختیار مدل قرار گرفت میزان برون یابی و تعیین نتایج مدل برای پنهن بندی خطر زمین لغزش در خصوص مناطق پایدار و ناپایدار کم است و بیشتر اهمیت مدل برای پنهن بندی مناطق با خطرات متوسط است.

در یک جمع بندی، می توان چند مزیت را برای مدل رگرسیون لوژستیک ذکر نمود. مهمترین مزیت این مدل توanalyی تشخیص اهمیت و میزان تأثیر متغیرهای مستقل (پارامترهای تشخیصی) در پاسخ مدل است که امکان تجدید نظر در تعداد پارامترهای درودی و حذف پارامترهای کم اثر را فراهم می سازد. دومین مزیت آسان بودن کارکردن با آن و عدم نیاز به رایانه های پیشرفته است به طوری که با یک

- Pachauri, A.K., Pant, M., *Landslide hazard mapping based on geological attributes*, Eng. Geol., 32:81-100, 1992.
- Pachauri, A.K., Gupa, P.V., Chander, R., *Landslide zoning in a part of the Garhwal Himalayas*. Environ. Geol., 36(3-4):325-334, 1998.
- TC4, ISSMFE, *Manual for Zonation on Seismic geotechnical Hazard*, 1993.
- Uromeihy, A., Mahdavifar, M. R. *Landslide hazard zonation of Khorshroostam area, Iran*. Bull. Eng. Geol. Environ., 58:207-213, 2000.
- Van Western, C.J., Rengers, N., Terlien, M.T.J., Soeters, R., *Prediction of the occurrence of slope instability phenomena through GIS-based hazard zonation*. Geol. Rundsch 86:404-414, 1997.
- [۱۶]
- [۱۷]
- [۱۸]
- [۱۹]
- [۲۰]
- 32:269-227, 1992.
- Anabalagan, R., Singh, B., *Landslide hazard and risk assessment mapping of mountainous terrains - a case study from kumaun himalaya, India*. Eng. Geol., 43:237-246, 1996.
- Carrara, A., Cardinali, M., Detti, R., Guzzetti, F., Pasqui, V., Reichenbach, P., *GIS techniques and statistical model in evaluating landslide*, 1991.
- Chacon, Jc., Irigaray, C., Fernandez, T. *Large to Middle Scale Landslide inventory analysis & Mapping with modeling in a GIS*. 7th international IAEG congress, pp. 4669-4678, Balkema, Roterdam, 1994.
- CRED (Centre for Research in the Epidemiology of disasters) Available at <http://www.cred.be/emdat/intro.html>, 2000.
- IFRC (International Federation of Red Crescent Societies) *World Disasters Report 2000*. Available at: <http://www.ifrc.org>, 2000.
- Juang, C.H., Lee, D.H., Sheu, C., *Mapping slope failure potential using fuzzy sets*. J. Geotech. Eng., ASCE, 118(3):475- 493 (1992)
- [۲۱]
- [۲۲]
- [۲۳]
- [۲۴]
- [۲۵]

زیرنویس‌ها

- ^۱ Linear probability model
- ^۲ Conditional expection
- ^۳ Conditional probability
- ^۴ Cumulative Distribution Function, CDF
- ^۵ Digital Elevation Model
- ^۶ Estimation
- ^۷ Validation
- ^۸ Chi square
- ^۹ Sensitivity
- ^{۱۰} Specificity
- ^{۱۱} Cutoff
- ^{۱۲} Landslide inventory map
- ^{۱۳} Shallow landslides
- ^{۱۴} Rock falls
- ^{۱۵} Rock falls
- ^{۱۶} Toppling

